

# MIKROSTRUKTURA IN MEHANSKE LASTNOSTI KORUNDNE KERAMIKE IZ KOAGULIRANIH SUSPENZIJ

## MICROSTRUCTURE AND MECHANICAL PROPERTIES OF ALUMINA CERAMICS FROM COAGULATED SUSPENSIONS

ALE[ DAKSKOBLER, T. KOSMA<sup>^</sup>

Institut Jo'ef Stefan, Jamova 39, 1000 Ljubljana

Prejem rokopisa - received: 1997-10-01; sprejem za objavo - accepted for publication: 1997-12-19

V novej{em ~asu potekajo intenzivne raziskave mokrega oblikovanja kerami-nih surovcev iz koaguliranih vodnih suspenzij, kjer med delci delujejo {ibke odbojne sile. Te omogo-ajo dobro oblikovnost suspenzij, oblikovanim surovcem pa dajejo plasti-en zna-aj in s tem mo'nost dodatnega hladnega izostatskega dostiskanja. Na ta na-in se da odpraviti ve-ino napak pri oblikovanju surovcev, kar se kasneje ka' e v homogenej{i mikrostrukturi, ob-utno bolj{ih lastnosti in ve-ji zanesljivosti sintrane keramike. V delu poro-amo o mikrostrukturi in mehanskih lastnosti korundne keramike iz koaguliranih vodnih suspenzij, ki smo jih pripravili v alkalnem podro-ju, kjer je povr{ina dispergiranih delcev glinice negativno nabita. Suspenzije smo koagulirali z dodatkom ustreznega elektrolita, ki dviguje ionsko jakost in s tem zmanj{uje povr{inski naboj. Surovce smo oblikovali z ulivanjem v porozni model in naknadnim izostatskim dostiskanjem. Mikrostrukturo in mehanske lastnosti tako oblikovane keramike smo primerjali s tisto, oblikovano iz dispergiranih suspenzij.

Klju-ne besede: gлина, suspenzija, koagulacija

In recent years, wet forming techniques for consolidation of ceramic green bodies from coagulated aqueous suspensions have been intensively studied. These suspensions show reasonably good wet-forming ability. Furthermore, plastic behavior of saturated bodies, arising from short-range repulsive forces acting on the particles surface, enable additional cold isostatic pressing, resulting in homogeneous microstructure, improved mechanical properties, as well as reliability of sintered ceramics. In the present work, the microstructure and mechanical properties of prepared alumina ceramics are reported. Alumina ceramics was prepared from coagulated aqueous suspensions in the alkaline region, where the surface of the dispersed particles is negatively charged. Suspensions were coagulated with the addition of a corresponding electrolyte, which increases ionic strength and decreases the surface charge. Green bodies were formed by pressure assisted slip casting in a porous mold. Some of the green bodies were isostatically pressed. The microstructure and mechanical properties of the sintered ceramics were also compared to sintered ceramics prepared from dispersed suspension.

Key words: alumina, suspension, coagulation

### 1 UVOD

Zmogljivost in zanesljivost izdelkov sodobne tehnike keramike sta poleg cene najpomembnej{a dejavnika, ki omejujeta njihovo uporabo v praksi. Medtem, ko je zmogljivost v prvi vrsti odvisna od intrinsi-nih lastnosti materiala, pa na zanesljivost vplivajo predvsem napake, ki izvirajo iz posameznih faz tehnologije izdelave kerami-nih izdelkov.

Ena od kriti-nih stopenj izdelave kerami-nih izdelkov je oblikovanje surovcev. Med postopki oblikovanja kerami-nih izdelkov so zanimivi t.i. mokri postopki, ki omogo-ajo izdelavo surovcev zapletenih oblik brez dodatne obdelave, poleg tega je vnos napak v surove manj{i. Pri teh postopkih sta pomembna tako priprava kerami-nih suspenzij z ustreznimi reolo{kimi lastnostmi, kot oblikovanje surovcev iz teh suspenzij<sup>1</sup>.

V novej{em ~asu potekajo pospe{ene raziskave t.i. koloidnega postopka izdelave kerami-nih surovcev, s katerim lahko dose'emo ne samo izbolj{ane mehanske in elektri-ne lastnosti, ampak tudi ve-jo zanesljivost sintranih izdelkov, kar je pogoj za ve-jo uporabo kerami-nih komponent v tehniki. Po tem postopku najprej iz suspenzije mehansko odstranimo agglomerate in druge ve-je delce, npr. s filtracijo ali sedimentacijo. Odstranjevanje je uspe{no le, ~e delujejo med delci v suspenziji mo-ne

elektrostatske odbojne sile in ~e je volumski dele' suhe snovi dovolj nizek - navadno < 30 vol.%. Vendar iz suspenzij s takimi lastnostmi ne moremo oblikovati surovcev v poroznih modelih, ker prihaja med strjevanjem do posedanja te'jih delcev in plastenja. Z destabilizacijo, ki je 2. faza koloidnega postopka, pove-amo viskoznost suspenzije, tako da med strjevanjem v poroznih modelih, kljub nizkemu volumskemu dele' u suhe snovi, ne pride do plastenja in posedanja te'jih delcev. Destabilizacijo delcev lahko dose'emo na dva na-in: (1) s spremembjo pH suspenzije nastavimo v bli'ino izoelektri-ne to-ke (IEP) delcev - s ~imer povzro-imo flokulacijo ali (2) z dodatkom elektrolita, ki ne vpliva na pH suspenzije pa- pa zasen-i naboj na delcih oz. komprimira elektri-ni dvojni sloj povr{insko nabitih delcev v suspenziji, tako da med njimi delujejo {ibke odbojne sile kratkega doseg, s ~imer povzro-imo koagulacijo. Prednost koaguliranih suspenzij pred dispergiranimi je, da se izognemo lo-evanju delcev po masi, prednost pred flokuliranimi pa, da se gostota zlaganja delcev pribli'uje gostoti zlaganja delcev v dispergiranih suspenzijah. Poleg tega se nasi-ena trdna telesa iz dispergiranih in flokuliranih suspenzij vedejo elasti-no, nasi-eno trdno telo iz koagulirane suspenzije pa plasti-no, kar omogo-a naknadno izostatsko stiskanje oblikovancev.

Pri oblikovanju korundnih izdelkov poteka navadno prva stopnja koloidnega postopka - dispergiranje in odstranjevanje grobih aglomeriranih delcev levo od izoelektri-ne to-ke, torej v kislem<sup>2</sup>. Ker je za pripravo suspenzije v kislem potreben dodatek mo-nih anorgan-skih kislin, katerih anioni so ne'eljene ne-isto-e v kon-nem izdelku, smo pri na{em delu dispergirali glinico v alkalnem podro-ju (desno od IEP), koagulacijo pa smo sku{ali dose-i z dodatkom magnezijevega acetata. Ta med segrevanjem razpade na hlapne produkte in MgO, ki bi lahko rabil kot dodatek za sintranje. V delu poro-amo o vplivu dodatka magnezijevega acetata na viskoznost vodne suspenzije glinice, na zeleno gostoto in plasti-nost vlitih oblikovancev ter posledi-no, na mikrostrukturo in upogibno trdnost sintranih izdelkov.

## 2 EKSPERIMENTALNO DELO

Kot izhodno surovino za pripravo suspenzij smo uporabili glinico A16 SG ( Alcoa Co., Pittsburgh, ZDA) s povpr-eno velikostjo delcev  $d_{50} = 0,6 \mu\text{m}$  in specifi-no povr{ino  $8,6 \text{ m}^2\text{g}^{-1}$ , ki se pogosto uporablja tako pri raziskovalnem delu, kot v industrijski praksi. Kot dispergent smo uporabili komercialni izdelek Dolapix CE64 (Zschimmer & Schwarz, Nem-ija), ki vsebuje anionske (karboksilne skupine) in kationske skupine (amino skupine) s povpre-no molsko maso  $322 \text{ gmol}^{-1}$ . Kot disperzni medij smo uporabili destilirano vodo. Po dispergiranju smo suspenzije destabilizirali z dodatkom raztopin magnezijevega acetata ( $0,5 \text{ M}$ ), magnezijevega nitrata ( $0,5 \text{ M}$ ) ali KCl v obliki  $3,0 \text{ M}$  raztopine. pH suspenzije smo spremnjali z dodatkom HCl in NH<sub>4</sub>OH ( $0,1 \text{ M}$ ).

Pripravljali smo suspenzije s 15 - 30% volumskim dele'm glinice, ki smo jim dodali 0,4 mas.% dispergenta glede na suho snov. Najprej smo z mletjem v planetarnem mlinu (2 h) pripravili dispergirano suspenzijo, nato smo dodali elektrolit in suspenzijo homogenizirali {e 30 minut v planetarnem mlinu. Suspenzije smo brizgali v porozne mav-ne modele z dimenziijo odprtine  $5 \times 5 \times 50 \text{ mm}$ , in sicer pri tlaku 1-2 bar. Surovce smo su{ili 5 dni na zraku pri sobni temperaturi, skupaj z vzorci, ki smo jih takoj po odstranitvi iz modela izostatsko dostisnili s pritiskom 40 MPa. Po su{enju smo surovcem izmerili geometrijsko zeleno gostoto. Po sintraju ( $1580^\circ\text{C}$ , 2h) smo vzorcem izmerili gostoto (piknometri-no s Hg), nekaterim pa tudi upogibno trdnost s {tirito-kovno metodo. Vzorce za mikrostrukturne preiskave na SEM smo polirali in termi-no jedkali.

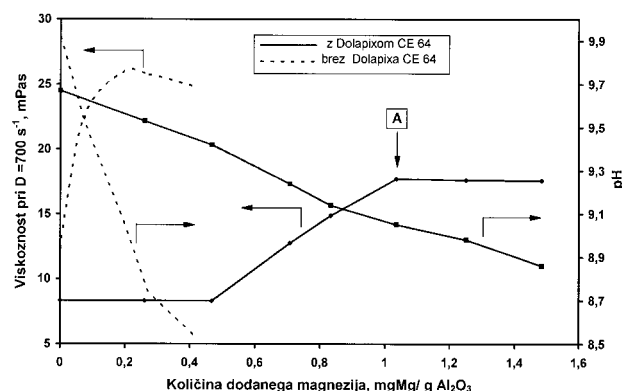
Vpliv razli-nih elektrolitov na dispergent (polielektrolit) smo ugotavljali s polielektrolitsko titracijo. V ta namen smo pripravili razred-ene vodne raztopine dispergenta ( $1 \text{ g l}^{-1}$ ), ki smo mu dodali elektrolit. pH smo spremnjali z dodatkom HCl in NH<sub>4</sub>OH. Kot titracijsko sredstvo smo uporabili  $5,0 \times 10^{-4} \text{ M}$  raztopino cetiltrimetilamonijevega bromida (CTAB, Aldrich).

Zeta potencial delcev smo merili po metodi elektroforeze (Zeta-sizer MK II, Malvern Instruments, Anglija).

Metoda ne omogo-a merjenja realnih (koncentriranih) suspenzij. Zato je pri tej metodi medij, v katerem se gibljejo delci v elektri-nem polju, bistvenega pomena. Pri na{ih meritvah smo kot medij uporabili bister supernatant, ki smo ga pripravili s centrifugiranjem suspenzije dolo-ene sestave. Dobiti rezultati so povpre-je desetih meritv pri konstantnih razmerah (pH, sestava). Pri suspenzijah smo merili pH ter viskoznost, in sicer z rotacijskim viskozimetrom HAAKE VT500, pri ~emer smo uporabili merilni sistem MV-1. Sedimentacijski volumen smo ugotovili po enournem centrifugirjanju suspenzije pri 3000 obr min<sup>-1</sup> v 10 ml graduiranih epruvetah.

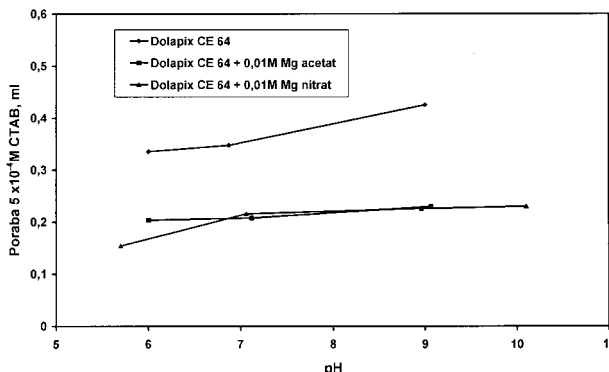
## 3 REZULTATI IN DISKUSIJA

Zaradi la'jega spremljanja viskoznosti suspenzije po destabilizaciji smo pripravili osnovno suspenzijo s 15 vol.% glinice z dodatkom 0,4 mas.% polielektrolita Dolapix CE64. Tej suspenziji smo dodajali magnezijev acetat, pri ~emer smo spremljali spremjanje viskoznosti in pH suspenzije. Rezultati meritv, ki so prikazani na **sliki 1**, ka'jajo, da z nara{~ajo-im dodatkom magnezijevega acetata pH suspenzije linearno pada od za-ete vrednosti 9,68 na vrednost 8,86 pri dodatku magnezijevega acetata, ki ustreza  $1,5 \text{ mg Mg/g Al}_2\text{O}_3$ . Za primerjavo sta na isti sliki prikazani tudi spremembji viskoznosti in pH supenzijs brez dodanega deflokulanta. Tudi v tem primeru se pH spreminja skoraj linearne, vendar je sprememba pH mnogo hitrej{a, prav tako kot nara{~anje viskoznosti, ki 'e pri  $0,21 \text{ mg Mg/g Al}_2\text{O}_3$  dose'e maksimalno vrednost. Nekoliko druga-e se spreminja viskoznost deflokulirane suspenzije (Dolapix CE64), ki ob manj{ih dodatkih magnezijevega acetata najprej ostaja nespremenjena, nato se pri koncentraciji pribli'no  $0,4 \text{ mg Mg/g Al}_2\text{O}_3$  hitro pove-uje in pri cca.  $1 \text{ mg Mg/g Al}_2\text{O}_3$  dose'e maksimalno vrednost, ki se z nadaljnjjim dodajanjem magnezijevega acetata tudi ne spreminja ve~.



**Slika 1:** Spreminjanje viskoznosti in pH dispergirane suspenzije (z Dolapixom CE64 in brez njega) s 15 vol.% glinice v odvisnosti od koli-ine dodanega magnezijevega acetata

**Figure 1:** Variation of viscosity and pH of dispersed suspension (15 vol.% of solid) with amount of added magnesium acetate. Suspensions were prepared with and without Dolapix CE64



**Slika 2:** Rezultati polielektrolitske titracije dispergenta Dolapix CE64 ( $c = 1 \text{ g l}^{-1}$ ) in z magnezijevim acetatom (0,01 M), magnezijevim nitratom (0,01 M) in kalijevim kloridom (0,1 M)

**Figure 2:** Results of polyelectrolytic titration of dispersant Dolapix CE64 ( $c = 1 \text{ g l}^{-1}$ ) and with magnesium acetate (0,01 M), magnesium nitrate (0,01 M) and potassium chloride (0,1 M)

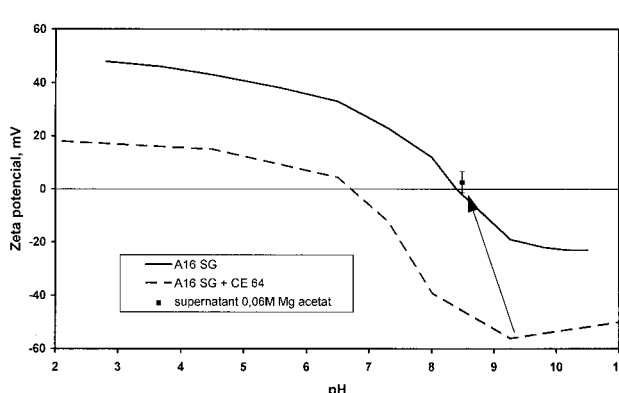
Ob predpostavki, da polielektrolit Dolapix CE64 vsebuje površinsko aktivne kationske in anionske skupine, je zelo verjetno, da so na površino delcev vezane kationske skupine, ker je pri lastnem pH suspenzije naboj na delcih negativen. Anionske skupine so proste in povezujajo naboj na delcih. Po dodatku magnezijevega acetata se magnezijevi ioni lahko vežajo na proste anionske skupine polielektrolita ali na površino delcev glinice. S polielektrolitsko titracijo raztopine Dolapixa CE64 v prisotnosti magnezijevega acetata in nitrata (slika 2) smo potrdili, da je teživo disociiranih anionskih skupin v raztopini manjša zaradi adsorpcije magnezijevih ionov na disocirane anionske skupine, medtem ko vrsta aniona nima opaznega vpliva. Adsorpcijo magnezijevih ionov na površino delcev glinice pa dokazuje spremembra pH suspenzije<sup>3</sup>, ki ni vsebovala polielektrolita.

Nespremenjeno za-etenega viskoznost suspenzije (slika 1), pripravljene s polielektrolitom pripisujemo, ad-

sorpciji magnezijevih ionov na anionske skupine prebitnega deflokulantja. Ker se pH o-ito hitreje spreminja z adsorpcijo magnezijevih ionov na površino delcev glinice, kaže, da je polielektrolit trdno vezan na površino in ga magnezijevi ioni ne izpodpirajo.

Nadalje predvidevamo, da pri-ne viskoznost suspenzije narašča, ko se za-nejo magnezijevi ioni adsorbirati na anionske skupine dispergenta, vezanega na površino delcev. Poleg tega se magnezijevi ioni delno vendarle lahko adsorbirajo tudi na površino delcev. Pri tem se spreminja pH, ki se približuje izoelektrični točki glinice in suspenzija postaja vedno bolj destabilizirana. Ko je nevtraliziran celoten dispergent, doseže viskoznost suspenzije maksimalno vrednost, ki ostaja praktično konstantna, kljub spremjanju pH.

Ne glede na pravilnost gornjih predpostavk ostaja dejstvo, da se v območju 0,4-1 mg Mg/g Al<sub>2</sub>O<sub>3</sub> zeta potencial zmanjšuje in se pri večji koncentraciji magnezijevega acetata ne spreminja več, eprav se pH suspenzije ne zmanjšuje. Pri 1 mg Mg/g Al<sub>2</sub>O<sub>3</sub> so delci v suspenziji destabilizirani, vprašanje pa je, ali gre za flokulacijo (zeta potencial = 0) ali koagulacijo (zeta potencial > 0). Shematično je potek destabilizacije prikazan s pomočico v diagramu zeta potencial-pH za glinico v vodi z Dolapixom CE64 in brez njega (slika 3). Z meritvami zeta potenciala (slika 3) smo sicer potrdili, da je vrednost zeta potenciala delcev zelo majhna, al pa je natanost meritev premajhna, da bi lahko z gotovostjo eno od obeh možnosti izključili. Zato smo si pri reševanju dileme pomagali z meritvami sedimentacijskega volumna po centrifugiraju in z ugotavljanjem elastičnosti oz. plastičnosti nasičenih trdnih teles. Iz meritev sedimentacijskih volumnov, ki jih prikazuje slika 4, bi lahko sklepali, da so delci v suspenziji bližje flokuliranemu stanju, saj sta

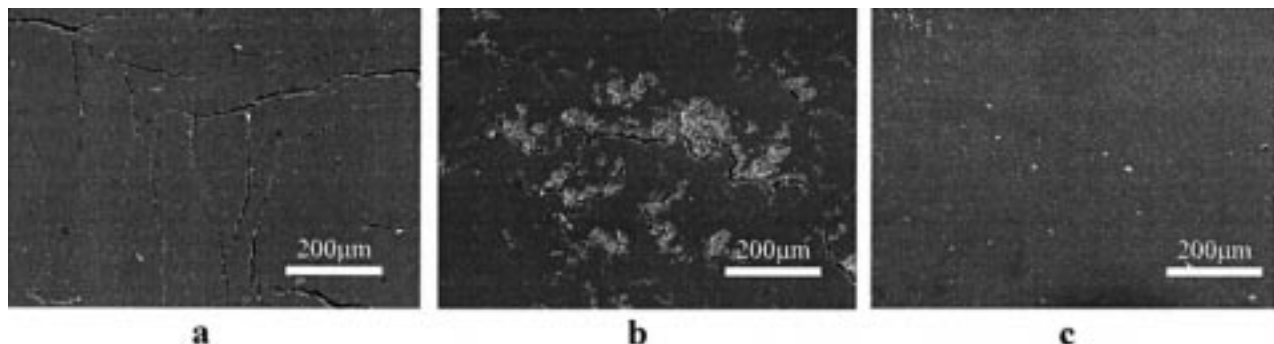


**Slika 3:** Ovisnost zeta potenciala delcev Al<sub>2</sub>O<sub>3</sub> (A16 SG) v ovisnosti od pH v destilirani vodi brez disperganta Dolapix CE64 in z njim. To kaže na diagramu je zeta potencial delcev v točki A na sliki 1

**Figure 3:** Dependence of zeta potential of alumina particles (A16 SG) in dependence of pH in distilled water with and without Dolapix CE64. The point on diagram represents zeta potential of particles at point A on figure 1

**Slika 4:** Višina sedimenta suspenzij po centrifugirjanju in ustrezni volumski delež suhe snovi v sedimentu. Z Dolapixom CE64: A-dispergirana suspenzija; B-flokulirana suspenzija; C-destabilizirana suspenzija, Mg-acetat; in brez disperganta: D-dispergirana suspenzija; E-koagulirana suspenzija, KCl; F-flokulirana suspenzija; G-destabilizirana suspenzija, Mg-acetat

**Figure 4:** The height of sediment of slurries after centrifugation and corresponding volume fraction of solid in sediment. With Dolapix CE64: A-dispersed suspension; B-flocculated suspension; C-destabilised suspension, Mg-acetate. Without dispersant: D-dispersed suspension; E-coagulated suspension, KCl; F-flocculated suspension; G-destabilised suspension, Mg-acetate



**Slika 5:** Mikrostrukture izostatsko dostisnjene vzorcev po sintranju pri 1580°C, 2h; a-dispergirana suspenzija, b- flokulirana suspenzija in c-destabilizirane suspenzija(Mg- acetat)

**Figure 5:** Microstructure of isostatically pressed sample after sintering at 1580°C, 2h; a-dispersed suspension, b-flocculated suspension and c-destabilised suspension (Mg-acetate)

sedimentacijska volumna flokulirane suspenzije in suspenzije, destabilizirane z magnezijevim acetatom, skoraj enaka. Posnetki SEM sintranih, izostatsko dostisnjenih nasi-enih teles (**slika 5**) pa ka'ejo, da so vzorci, pripravljeni iz dispergirane in flokulirane suspenzije, razpokani (elasti-no vedenje), medtem ko so vzorci, destabilizirani z magnezijevim acetatom nerazpokani, kar ka'e na plasti-no deformacijo. Na osnovi tega domnevamo, da delujejo med delci {ibke odbojne sile kratkega dosega, ki povzro-ijo destabilizacijo suspenzije, ki omogo-a plasti-no deformiranje nasi-enih trdnih teles.

V **tabeli 1** so zbrani rezultati meritve zelenih in sintranih gostot ter upogibne trdnosti sintranih vzorcev. Zaradi nizkega pritiska brizganja in s tem nizkih zelenih gostot pride pri sintranju do velikega skr-ka in ni' jih sintranih gostot. Mikrostruktura vzorca pripravljenega iz destabilizirane suspenzije z magnezijevim acetatom in izostatsko dostisnjenega (**slika 6**), ka'e, da je po destabilizaciji suspenzije z acetatom nastalega magnezijevega

oksida premalo za hitre{e zgo{-evanje in kontrolirano rast zrn med sintranjem. V tem primeru je tudi velikost zrn ve-ja in gostota ni'ja. Kljub temu so upogibne trdnosti sintranih vzorcev relativno zelo visoke glede na gostoto.

**Tabela 1:** Relativne zelene in sintrane gostote ter upogibne trdnosti sintranih vzorcev oblikovanih iz razli-nih suspenzij

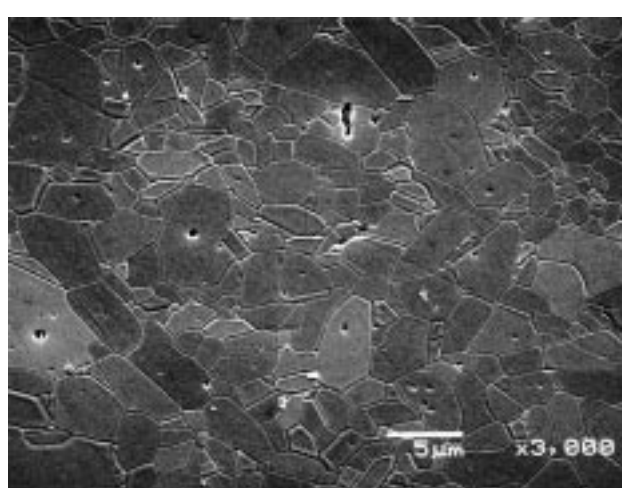
**Tabela 1:** Relative green densities, sintered densities and flexural strength of sintered samples, prepared from different suspensions

Vrsta sus-pen-zije	Zelena gosto-ta,%	Zelena gosto-ta, izostatsko dostisnjena,%	Sintrana gosto-ta,%	Upogibna trdnost, MPa
dispergirana	58,8	59,7	98,3	394
flokulirana	49,7	55,1	97,4	383
koagulirana	48,6	48,8	97,6	382

#### 4 SKLEPI

Deflokulirano suspenzijo glinice v vodi smo destabilizirali z dodatkom magnezijevega acetata, kar so potrdile meritve viskoznosti suspenzije in zeta potenciala delcev. Rezultati meritve sedimentacijskih volumnov po centrifugiranju ka'ejo, da so delci v suspenziji flokulirani, medtem ko plasti-nost izostatsko dostisnjenih nasi-enih teles ka'e na koagulacijo suspenzije oz. na prisotnost {ibkih odbojnih sil kratkega dosega med delci v suspenziji, ki omogo-ajo plasti-no deformacijo. Zato na osnovi dosedanjih rezultatov ne moremo z gotovostjo trditi, kak{ne sile delujejo med delci v destabilizirani suspenziji.

Mikrostrukture sintranih vzorcev ka'ejo, da koli-na magnezijevega oksida, nastalega iz magnezijevega acetata, ne zado-{a za hitre{e zgo{-evanje in kontrolirano rast zrn med sintranjem, zato bi bilo potrebno v suspenzijo dodati magnezijev oksid, ki bi vplival na nastanek primerne mikrostrukture in s tem na izbolj{anje lastnosti sintrane keramike.



**Slika 6:** Mikrostruktura sintrane izostatsko dostisnjene surovca, pripravljenega iz destabilizirane suspenzije z magnezijevim acetatom  
**Figure 6:** Microstructure of sintered isostatically pressed sample, prepared from destabilised suspension with magnesium acetate

## 5 LITERATURA

- <sup>1</sup>F. F. Lange, Powder Processing Science and Technology for Increased Reliability, *J. Am. Ceram. Soc.*, 72 (1989) 1, 3-15
- <sup>2</sup>B. V. Velamakanni, J. C. Chang, F. F. Lange, D. S. Pearson, New Method for Efficient Colloidal Particle Packing via Modulation of Repulsive Lubricating Hydration Forces, *Langmuir*, 6 (1990) 7, 1323-1325
- <sup>3</sup>R. J. Pugh, L. Bergstrom, The Uptake of Mg(II) on ultrafine  $\alpha$ -Silicon Carbide and  $\alpha$ -Alumina, *J. Colloid Interface Sci.*, 124 (1988) 2, 570-580
- <sup>4</sup>J. C. Chang, F. F. Lange, D. S. Pearson, Pressure Sensitivity for Particle Packing of Aqueous  $Al_2O_3$  Slurries vs. Interparticle Potential, *J. Am. Ceram. Soc.*, 77 (1994) 5, 1357-60